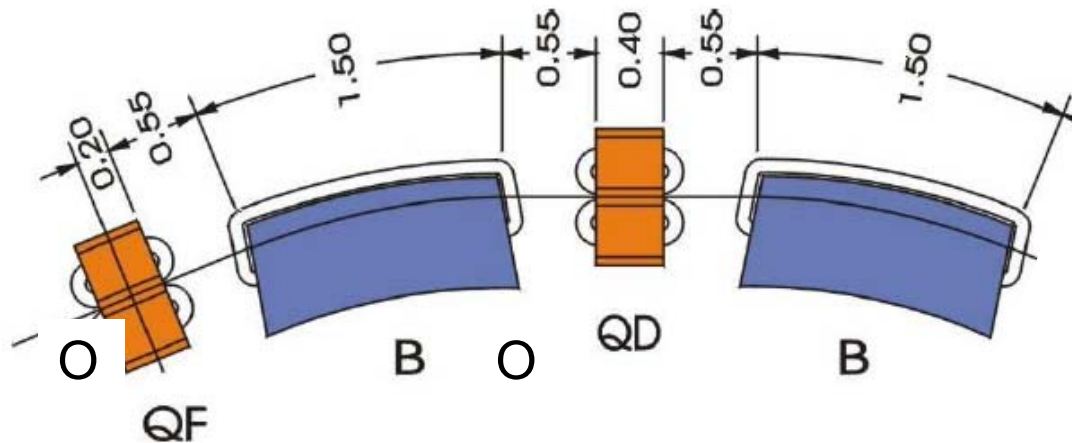


## 7.) Lattice Design und Resonanzen

Wir betrachten die periodische Anordnung von Einheitszellen mit einer FODO-Struktur. Eine FODO-Struktur ist eine Anordnung aus einem stark fokussierenden Element QF, einer Driftstrecke oder schwach fokussierenden Strecke O, einem stark defokussierenden Element QD und einer weiteren Driftstrecke oder schwach fokussierenden Strecke O.

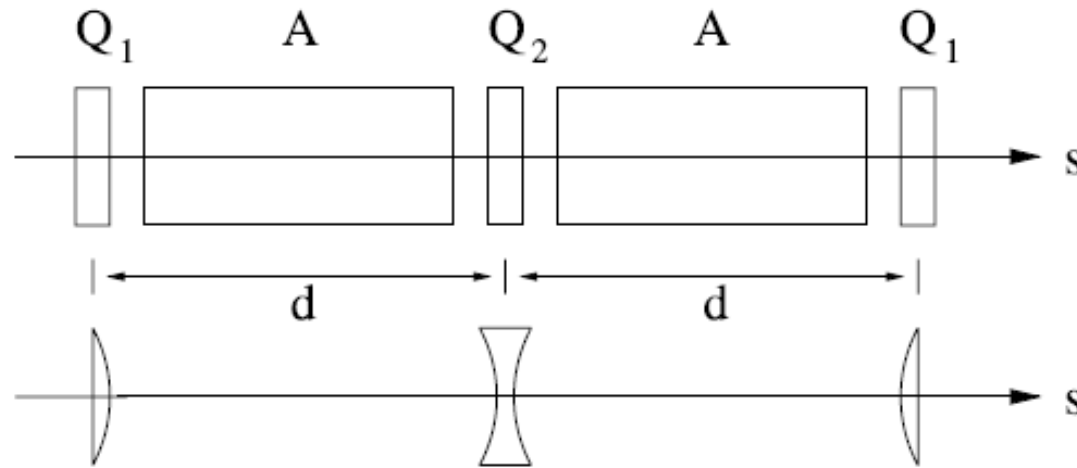


Die klassische FODO-Optik ist die Optik des "combined function" Synchrotrons, dessen Einheitszelle aus einem stark fokussierenden Ablenkmagneten, einer Driftstrecke, einem stark defokussierenden Ablenkmagneten und einer weiteren Driftstrecke besteht. Bei dem "separated function" Synchrotron wird die starke Fokussierung mithilfe von Quadrupolen realisiert.

Wir betrachten als konkretes Beispiel die FODO-Optik des "separated function" Synchrotrons. Die Einheitszelle besteht aus folgenden Elementen:

Quadrupol Q1 – Driftstrecke – Ablenkmagnet A1 – Driftstrecke – Quadrupol Q2 – Driftstrecke – Ablenkmagnet A2 – Driftstrecke

Zur Vereinfachung der Rechnung nehmen wir an, dass die Fokussierstärke der Ablenkmagnete vernachlässigbar klein ist und wir fangen in der Mitte des Quadrupols Q1 an.



$$\begin{aligned}
 \underline{R}_{FODO} &= \begin{pmatrix} 1 & 0 \\ -\frac{1}{2f_1} & 1 \end{pmatrix} \begin{pmatrix} 1 & d \\ 0 & 1 \end{pmatrix} \begin{pmatrix} 1 & 0 \\ -\frac{1}{f_2} & 1 \end{pmatrix} \begin{pmatrix} 1 & d \\ 0 & 1 \end{pmatrix} \begin{pmatrix} 1 & 0 \\ -\frac{1}{2f_1} & 1 \end{pmatrix} \\
 &= \begin{pmatrix} 1 - d\left(\frac{1}{f_1} + \frac{1}{f_2}\right) + \frac{d^2}{2f_1f_2} & 2d - \frac{d^2}{f_2} \\ -\left(\frac{1}{f_1} + \frac{1}{f_2}\right) - \frac{d}{2f_1}\left(\frac{1}{f_1} + \frac{2}{f_2}\right) - \frac{d^2}{4f_1^2f_2} & 1 - d\left(\frac{1}{f_1} + \frac{1}{f_2}\right) + \frac{d^2}{2f_1f_2} \end{pmatrix}
 \end{aligned}$$

Daraus erhalten wir die Twiss-Parameter und den Phasenvorschub:

$$\cos \mu = \frac{1}{2}(M_{11} + M_{22}) = 1 - d\left(\frac{1}{f_1} + \frac{1}{f_2}\right) + \frac{d^2}{2f_1f_2}$$

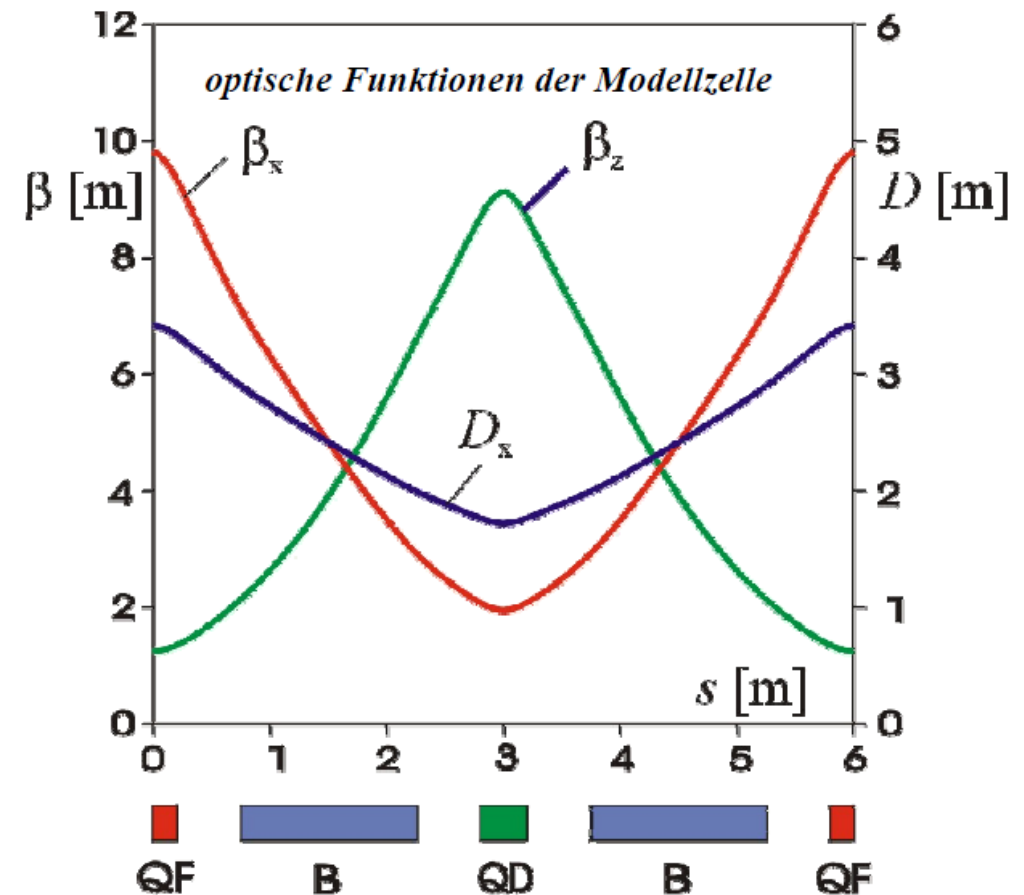
$$\alpha = \frac{M_{11} - M_{22}}{2 \sin \mu} = 0 \quad ; \quad \gamma = \frac{1}{\beta}$$

Die Eigenellipse dieser Struktur ist aufrecht.

$$\rightarrow \beta = \frac{M_{12}}{\sin \mu} = \left(2d - \frac{d^2}{f_2}\right) \frac{1}{\sqrt{1 - \cos^2 \mu}}$$

Bei einer FODO-Optik ist  $\beta$  im Bereich des fokussierenden Elementes maximal und im Bereich des defokussierenden Elementes minimal.

Bei der Rechnung haben wir die geringe Fokussierkraft der Kantenfokussierung der Ablenkmagnete vernachlässigt, da diese im Vergleich zu den Quadrupolen sehr klein ist.



Grenzen des stabilen Bereiches für einen Beschleunigerring, der aus N identischen Einheitszellen mit FODO-Struktur aufgebaut ist. Wir betrachten wieder eine "separated function"-Maschine bei extrem hohen Energien, bei der die Fokussierungsstärke der Ablenkmagnete im Vergleich zur Fokussierungsstärke der Quadrupolmagnete vernachlässigbar ist.

$$-1 < \cos \mu < 1 \Rightarrow -1 < 1 - d \left( \frac{1}{f_1} + \frac{1}{f_2} \right) + \frac{d^2}{2f_1f_2} < 1$$

$$0 < \sin^2 \frac{\mu}{2} < 1 \Rightarrow 0 < \frac{1 - \cos \mu}{2} < 1 \Rightarrow 0 < \frac{1}{2} - \frac{1}{2} + \frac{d}{2} \left( \frac{1}{f_1} + \frac{1}{f_2} \right) + \frac{d^2}{4f_1f_2} < 1$$

Wir nehmen an das  $\frac{1}{f_{1y}} = -\frac{1}{f_{1x}}$ ,  $\frac{1}{f_{2y}} = -\frac{1}{f_{2x}}$  mit  $F_x = \left| \frac{1}{2f_1} \right|$ ,  $F_y = \left| \frac{1}{2f_2} \right|$

$$0 < \sin^2 \frac{\mu_x}{2} < 1 \Rightarrow 0 < F_x - F_y + F_x F_y < 1$$

$$0 < \sin^2 \frac{\mu_y}{2} < 1 \Rightarrow 0 < -F_x + F_y + F_x F_y < 1$$

Für die Grenzlinien des stabilen Bereichs erhalten wir:

$$\mu_x = 0 \Rightarrow F_x = F_y - F_x F_y \Rightarrow F_y = \frac{F_x}{1 - F_x}$$

$$\mu_y = 0 \Rightarrow F_y = \frac{F_x}{1 + F_x}$$

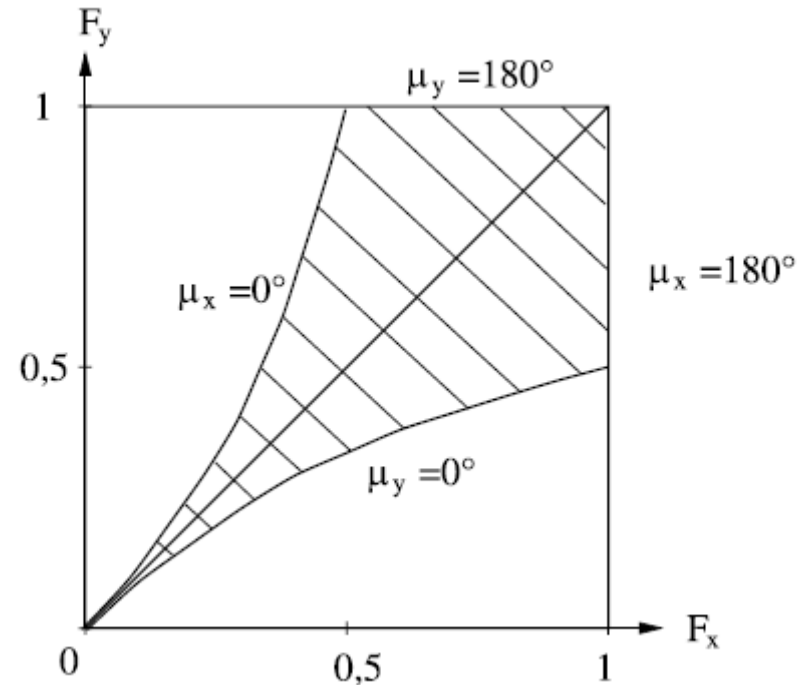
$$\mu_x = 180^\circ \Rightarrow F_x - F_y + F_x F_y = 1$$

$$\Rightarrow F_x = 1$$

$$\mu_y = 180^\circ \Rightarrow -F_x + F_y + F_x F_y = 1$$

$$\Rightarrow F_y = 1$$

Stabilitätsdiagramm einer FODO-Struktur.



## 7.1. Störfelder und Resonanzen

Wir betrachten die Störung der geschlossenen Gleichgewichtsbahn durch Dipolfeldfehler und mögliche Korrekturen mit Steerer. Ein Dipolfeldfehler  $\delta B$  an der Stelle  $s_0$ , der sich über eine infinitesimal kurze Wegstrecke  $\Delta s$  erstreckt, verursacht eine lokale Störung, die sich in der Form einer Winkeländerung ("Kick")  $\Delta x'$  ggü. dem regulären Ablenkwinkel  $x'$  äußert.

Damit wird die Gleichgewichtsbahn eines Kreisbeschleunigers, der „closed orbit“, den das Sollteilchen bei jedem Umlauf von neuem durchlaufen soll, gestört. Man verwendet daher auch den Begriff „closed orbit distortion“.

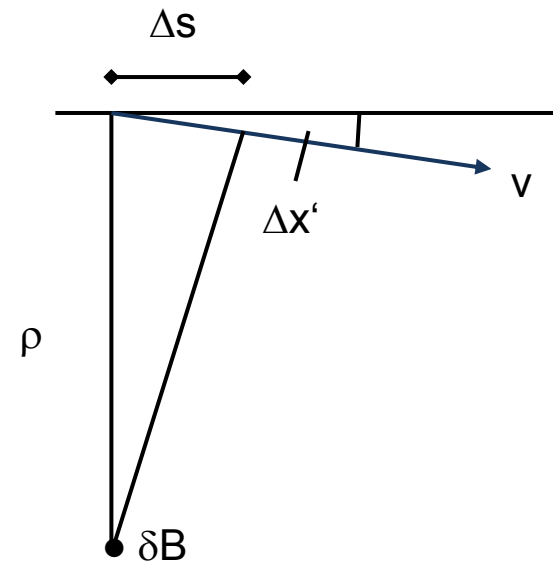
$$m\omega^2 \rho = q\omega\rho \cdot \delta B$$

$$\omega = -\frac{\Delta x'}{\Delta t} = \frac{q}{m} \delta B \quad , \quad \Delta t = \frac{\Delta s}{v}$$

$$\Delta x' = \frac{q}{m} \frac{\Delta s}{v} \delta B \quad , \quad \frac{m \cdot v}{q} = \rho \cdot B$$

magnetische Steifigkeit des Strahls  $\rho \cdot B$ .

$$\Delta x' = -\frac{\Delta s}{\rho \cdot B} \delta B = F(s_0) \cdot \Delta s$$



Die Gleichgewichtsbahn wird hierdurch modifiziert → **"closed orbit distortion"**

Wenn eine Störung vorliegt, machen die Teilchen Betatronschwingungen um die gestörte Gleichgewichtsbahn. Die gestörte Gleichgewichtsbahn soll mit  $x_c(s)$  bezeichnet werden. Durch die Transformation nach einem Umlauf und die Periodizitätsbedingung folgt

$$\begin{pmatrix} x_c \\ x'_c - \Delta x' \end{pmatrix} = \underline{M}(s_0) \begin{pmatrix} x_c \\ x'_c \end{pmatrix} \quad \text{mit} \quad \underline{M}(s_0) = \begin{pmatrix} \cos \mu + \alpha_0 \sin \mu & \beta_0 \sin \mu \\ -\gamma_0 \sin \mu & \cos \mu - \alpha_0 \sin \mu \end{pmatrix} \quad \text{mit} \quad \mu = 2\pi \cdot Q$$

**Floquetsche** Lösung der Hillschen DGL!

$$x_c = (\cos \mu + \alpha_0 \sin \mu) \cdot x_c + \beta_0 \sin \mu \cdot x'_c$$

$$x'_c - \Delta x' = -\gamma_0 \sin \mu \cdot x_c + (\cos \mu - \alpha_0 \sin \mu) \cdot x'_c$$

$$x'_c = \frac{1 - \cos \mu - \alpha_0 \sin \mu}{\beta_0 \sin \mu} x_c \quad \text{und} \quad -\Delta x' = -\gamma_0 \sin \mu \cdot x_c + (\cos \mu - \alpha_0 \sin \mu - 1) \cdot x'_c$$

Setzt man  $x'_c$  in die zweite Gleichung ein dann erhält man nach einigen Umformungen

$$x_c = -\Delta x' \frac{\beta_0 \sin \mu}{2(\cos \mu - 1)} = \Delta x' \frac{\beta_0}{2 \tan \frac{\mu}{2}}$$

$$x_c = \Delta x' \frac{\beta_0}{2 \tan(\pi \cdot Q)} \quad \text{und}$$

$$x'_c = \frac{\Delta x'}{2} \left(1 - \frac{\alpha_0}{\tan \frac{\mu}{2}}\right) = \frac{\Delta x'}{2} \left(1 - \frac{\alpha_0}{\tan(\pi \cdot Q)}\right)$$

Damit ist die Amplitude an der Störstelle festgelegt:  $a_c = \frac{\Delta x' \sqrt{\beta_0}}{2 \sin(\pi \cdot Q)}$

Die allgemeine Orbitfunktion ist dann:  $x_c(s) = \frac{\Delta x' \sqrt{\beta_0}}{2 \sin(\pi \cdot Q)} \sqrt{\beta(s)} \cos[\psi(s) - \psi(s_0) - Q\pi]$

Die Auswirkungen einer lokalen Störung →

$$x_c(s) \propto \Delta x', x_c(s) \propto \sqrt{\beta_0}, x_c(s) \propto \sqrt{\beta(s)}, x_c(s) \propto \frac{1}{\sin(\pi \cdot Q)}$$

Die Zahl Q der Betatronsoschwingungen pro Umlauf darf nicht in der unmittelbaren Nähe einer ganzen Zahl liegen, ganzzahlige Resonanzen müssen unbedingt vermieden werden. Für ganzzahlige Q liegt die gestörte Gleichgewichtsbahn wegen  $1/\sin Q\pi$  im Unendlichen. Dies nennt man auch ein **ganzzahliges Stoppband!** Die Verallgemeinerung auf viele Störstellen ist

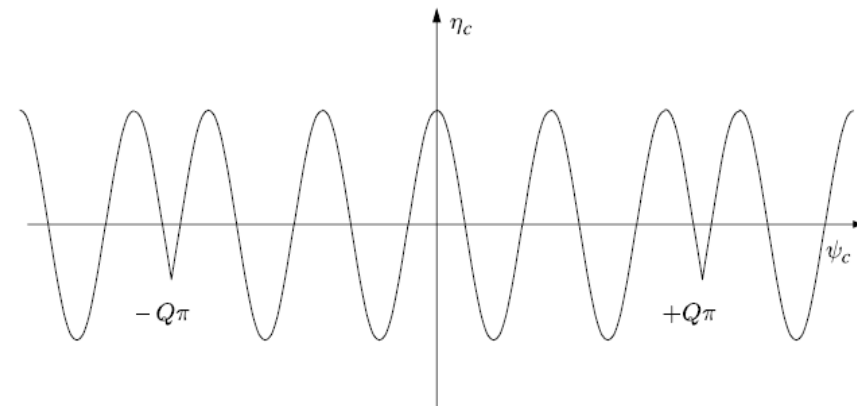
$$x_c(s) = \frac{\sqrt{\beta_0}}{2 \sin(\pi \cdot Q)} \int_s^{s+C} F(\bar{s}) \sqrt{\beta(\bar{s})} \cos[\psi(\bar{s}) - \psi(s) - Q\pi] d\bar{s}$$

Dipolfeldfehler werden durch kleine Abweichungen der Magnetfelder vom Sollwert und Ungenauigkeiten in der Positionierung von Ablenkmagneten, Quadrupolmagneten und Sextupolmagneten verursacht. Vor allem Quadrupolmagnete tragen besonders stark zur Störung bei, wenn die Gleichgewichtsbahn nicht durch die magnetische Mitte der Quadrupolmagnete geht.

Eine interessante Frage ist die Korrektur der gestörten Gleichgewichtsbahn mit Hilfe von kleinen Korrekturmagneten (Steermagneten). Ebenso sind entsprechende Strahlpositionsmonitore erforderlich.

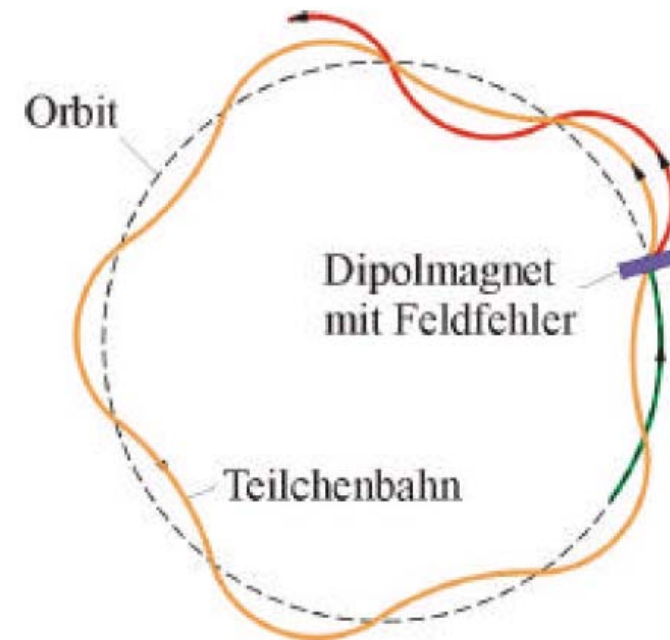


An der Störstelle  $s_0$  ist die Phase  $\psi_c = -Q\pi$ .  
 An der diametral gegenüberliegenden Stelle  $s_0 + C/2$ , d. h. nach einem halben Umlauf, ist  $\psi_c = 0$ . Nach einem vollen Umlauf, d. h. an der Stelle  $s_0+C$  ist  $\psi_c = +Q\pi$ .



In Fall von ganzzahligen  $Q$  passieren die Teilchen Feldfehler immer mit derselben Phase und die Fehler addieren sich zu großen Amplituden auf.

Eine unkorrigierte Gleichgewichtsbahn mit großen Abweichungen von der idealen Gleichgewichtsbahn verringert die zur Verfügung stehende Apertur und damit die Akzeptanz der Maschine. Außerdem werden die unerwünschten nichtlinearen Effekte verstärkt.



## 7.2. *Quadrupol- und Sextupolfehler, Resonanzen*

Ein lokaler Quadrupolfeldfehler oder allgemeiner ein lokaler Gradientenfehler führt zu einer Änderung der Amplitudenfunktion  $\beta(s)$  und der Betatronschwingungszahl  $Q$ . Die lokalisierte Störung kann durch den Effekt einer dünnen Linse mit der Brechkraft

$$\frac{1}{f} = \delta k \cdot \Delta s$$

$$\begin{aligned} \underline{M}(s_0) &= \begin{pmatrix} \cos \mu + \alpha \sin \mu & \beta \sin \mu \\ -\gamma \sin \mu & \cos \mu - \alpha \sin \mu \end{pmatrix} = \begin{pmatrix} 1 & 0 \\ -\frac{1}{f} & 1 \end{pmatrix} \begin{pmatrix} \cos \mu_0 + \alpha_0 \sin \mu_0 & \beta_0 \sin \mu_0 \\ -\gamma_0 \sin \mu_0 & \cos \mu_0 - \alpha_0 \sin \mu_0 \end{pmatrix} \\ &= \begin{pmatrix} \cos \mu_0 + \alpha_0 \sin \mu_0 & \beta_0 \sin \mu_0 \\ -\frac{1}{f}(\cos \mu_0 + \alpha_0 \sin \mu_0) - \gamma_0 \sin \mu_0 & -\frac{\beta_0}{f} \sin \mu_0 + \cos \mu_0 - \alpha_0 \sin \mu_0 \end{pmatrix} \end{aligned}$$

Damit erhält man  $\cos \mu = \frac{1}{2}(\cos \mu_0 + \alpha_0 \sin \mu_0 - \frac{\beta_0}{f} \sin \mu_0 + \cos \mu_0 - \alpha_0 \sin \mu_0)$

$$\cos \mu = \cos \mu_0 - \frac{\beta_0}{2f} \sin \mu_0 \quad \Rightarrow \quad \cos \mu - \cos \mu_0 = -2 \sin\left(\frac{\mu + \mu_0}{2}\right) \sin\left(\frac{\mu - \mu_0}{2}\right) = -\frac{\beta_0}{2f} \sin \mu_0$$

Da  $\mu \sim \mu_0$  folgt  $-2 \sin \mu_0 \sin\left(\frac{\Delta\mu}{2}\right) = -\frac{\beta_0}{2f} \sin \mu_0 \Rightarrow \sin\left(\frac{\Delta\mu}{2}\right) = \frac{\beta_0}{4f}$

Da  $\Delta\mu \ll 1$  ist folgt somit  $\sin\left(\frac{\Delta\mu}{2}\right) \approx \frac{\Delta\mu}{2} = \frac{\beta_0}{4f} \Rightarrow \Delta\mu = \frac{\beta_0}{2f} = 2\pi \Delta Q$

$\rightarrow \Delta Q = \frac{\beta_0}{4\pi f} \rightarrow$  **Tune shift**

Diese Gleichung wird unter anderem dazu benutzt, die Betatronfunktion  $\beta_0$  im Bereich eines Quadrupols zu messen. Hierzu wird die Brechkraft des Quadrupols ein klein wenig geändert, und die Änderung des Arbeitspunktes  $\Delta Q$  genau gemessen. Die Verallgemeinerung auf die Summe aller Gradientenfehler ergibt für die Änderung des Arbeitspunktes

$$\Delta Q = \frac{1}{4\pi} \oint \beta(\bar{s}) \delta k(\bar{s}) d\bar{s}$$

Die Änderung der Amplitudenfunktion  $\Delta\beta(s)$  findet man unter Berücksichtigung der Periodizitätsbedingung ganz ähnlich wie dies für Dipolfehler skizziert wurde:

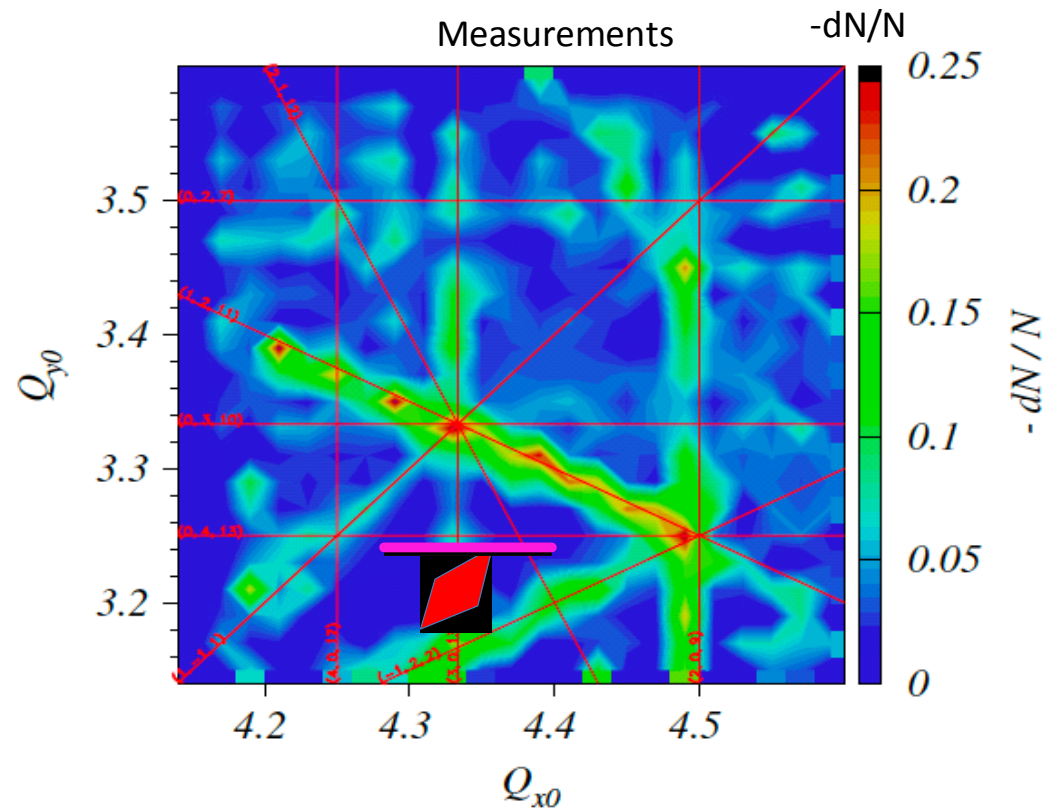
$$\Delta\beta(s) = \frac{\beta(s)}{2 \sin(2\pi \cdot Q)} \int_s^{s+C} \delta k(\bar{s}) \beta(\bar{s}) \cos 2[\psi(\bar{s}) - \psi(s) - Q\pi] d\bar{s}$$

Wenn  $|\cos \mu_0|$  nahe bei Eins liegt, kann  $|\cos \mu|$  aufgrund der Störung größer als Eins werden, und die Betatronschwingungen werden instabil. Es gibt ein Intervall  $\delta Q$  in der Umgebung von halb- und ganzzahligen  $Q$ -Werten, in dem der Beschleuniger aufgrund von Gradientenfehlern instabil wird.

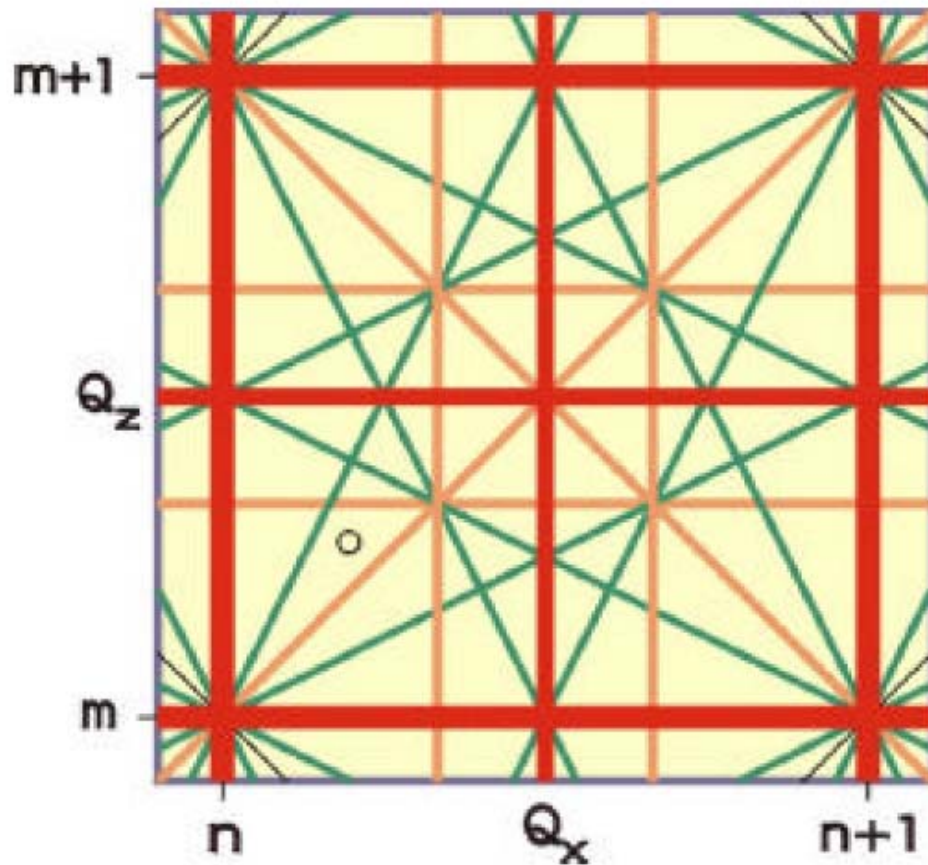
### → Stopband 2. Ordnung

Die Störung verursacht einen tune shift, eine Verlagerung des Arbeitspunktes! Wenn nun der Arbeitspunkt in der Nähe eines Stopbandes zweiter Ordnung ( $Q =$  halbzahlig) liegt, dann liegt der Phasenvorschub  $\mu_0$  pro Umlauf in der Nähe von  $\pi$ , und es besteht die Möglichkeit der Resonanz.

Man kann dann ein entsprechendes Tune-Diagramm erstellen mit den Resonanzen verschiedener Ordnung:



G. Franchetti et al., GSI-Acc-Note-2005-02-001



Feldfehler	optische Resonanz
Dipolfehler	$Q = n$
Quadrupolfehler	$Q = n + 1/2$
Sextupolfehler	$Q = n + 1/3$
Oktupolfehler	$Q = n + 1/4$
usw.	usw.

$Q_x$ - $Q_z$ -Diagramm  
bis zur 3. Ordnung

$$m \cdot Q_x + n \cdot Q_z = p \quad (m, n, p = \text{ganze Zahlen})$$

### 7.3. Chromatizität

Teilchen mit einer Impulsabweichung  $\delta = \Delta p/p_0$  erfahren eine unterschiedliche Fokussierungsstärke. Die Auswirkung dieses Effektes auf die Zahl der Betatronschwingungen ( $Q$ ) pro Umlauf wird durch die Chromatizität  $\xi$  erfasst.

$$\Delta Q_x = \xi_x \frac{\Delta p}{p_0} \quad , \quad \Delta Q_y = \xi_y \frac{\Delta p}{p_0}$$

Bei der Berechnung der Chromatizität unterscheidet man zwischen der natürlichen Chromatizität  $\xi^n$  und der durch Sextupolfelder ausgelösten Chromatizität  $\xi^s$ . Die Fokussierungsstärke  $K(s)$  in der Hill'schen Differenzialgleichung ist umgekehrt proportional zu dem Impuls der Teilchen.

$$\Delta K_x = -K_x \frac{\Delta p}{p_0}$$

Die Änderung des Arbeitspunktes aufgrund von Quadrupolfehlern haben wir erhalten aus

$$\Delta Q = \frac{1}{4\pi} \oint \beta(\bar{s}) \Delta K_x d\bar{s} = - \underbrace{\frac{1}{4\pi} \oint \beta(\bar{s}) K_x(\bar{s}) d\bar{s}}_{\xi_x^n} \cdot \frac{\Delta p}{p_0}$$

Damit erhalten wir für die natürliche Chromatizität:

$$\xi_x^n = -\frac{1}{4\pi} \oint \beta_x(\bar{s}) K_x(\bar{s}) d\bar{s} \quad , \quad \xi_y^n = -\frac{1}{4\pi} \oint \beta_y(\bar{s}) K_y(\bar{s}) d\bar{s}$$

Da die Fokussierungsstärken  $K_x$  und  $K_y$  umgekehrt proportional zu dem Impuls  $p$  sind, ist die natürliche Chromatizität immer negativ. Der Betrag der Chromatizität nimmt mit der Stärke der Fokussierung zu. Besonders große Beiträge kommen aus dem Bereich von fokussierenden Quadrupolen, wo sowohl die Betatronfunktion wie die Fokussierungsstärke groß sind.

Eine zusätzliche Chromatizität entsteht durch Sextupolfelder, wenn die Dispersion  $D$  von null verschieden ist. Für die Sextupolfelder gilt

$$B_y(x) = \frac{1}{2} \left( \frac{\partial^2 B_y}{\partial x^2} \right) x^2 = \frac{g_s}{2} x^2$$

Ein Teilchen mit der Ortsabweichung  $x = D \frac{\Delta p}{p_0}$  spürt den Gradienten des Sextupolfeldes

$$\frac{\partial B_y}{\partial x} \approx \left( \frac{\partial^2 B_y}{\partial x^2} \right) x = g_s x \quad \text{und damit} \quad \Delta K_x^s = \frac{q}{p} \frac{\partial B_y}{\partial x} \approx \frac{g_s x}{B \cdot \rho} = \frac{g_s D}{B \cdot \rho} \frac{\Delta p}{p_0}$$

Die Wirkung des Sextupols hängt daher in diesem Fall von der Dispersion ab.

$$\rightarrow \Delta Q = \underbrace{\frac{1}{4\pi} \oint g_s(\bar{s}) \frac{\beta_x(\bar{s}) D(\bar{s})}{B \cdot \rho} d\bar{s}}_{\xi_x^s} \cdot \frac{\Delta p}{p_0}$$

Natürliche Quellen von Sextupolfeldern sind die Dipolmagnete. Vor allem bei niedrigen Erregungen verursacht das remanente Feld starke Sextupolkomponenten. Die Gesamtchromatizität ist die Summe

$$\xi_x = \xi_x^n + \xi_x^s$$

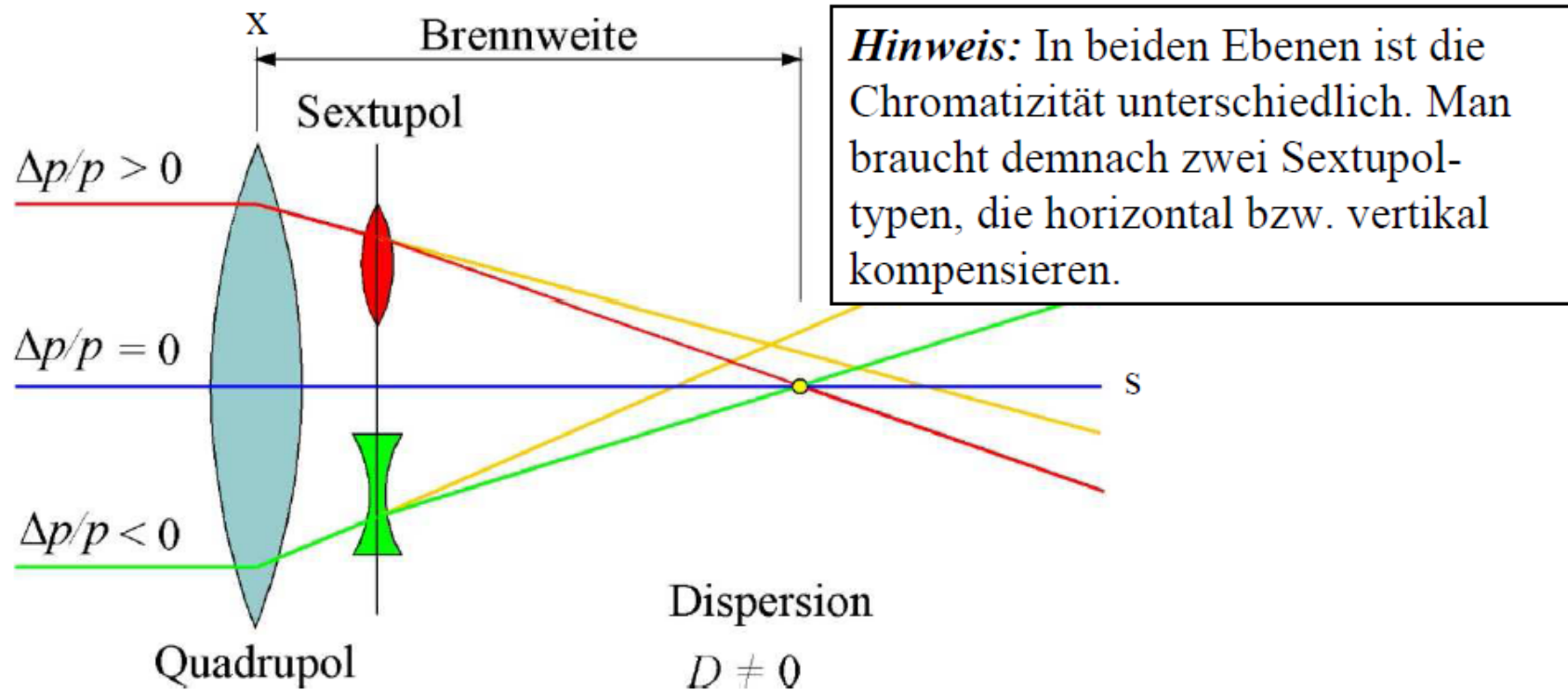
Um die natürliche Chromatizität unterschiedlich großer Maschinen miteinander vergleichen zu können, wird manchmal auch die relative natürliche Chromatizität definiert

$$\frac{\Delta Q}{Q} = \xi_{rel}^n \frac{\Delta p}{p_0}$$

Die meisten Maschinen mit starker Fokussierung haben eine relative natürliche Chromatizität im Bereich von -1 und -1.5.



Zur Korrektur der natürlichen Chromatizitäten und der durch störende Sextupolfelder ausgelösten Chromatizitäten werden gezielt Korrektursextupole eingesetzt. Die Größen  $\xi_x^s$  und  $\xi_y^s$  werden mithilfe der Korrektursextupole so modifiziert, dass nach der Korrektur  $\xi_x \approx 0$  und  $\xi_y \approx 0$  sind.



Im Prinzip reichen zwei Sextupole zur Korrektur, jedoch schränkt dies die dynamische Apertur des Ringes deutlich ein. Eine Korrektur der Chromatizität ist in der Regel stets erforderlich, da sonst die Bandbreiten des Arbeitspunktes ("tune spread"), d. h.  $\Delta Q_x$  und  $\Delta Q_y$  aufgrund der Impulsunschärfe  $\Delta p/p_0$  zu groß werden. Die zur Korrektur der Chromatizität notwendigen Sextupolmagnete haben den Nachteil, dass sie nichtlineare Resonanzen dritter Ordnung anfachen.